

## 力学系としての渦糸群

東大・理 木村芳文 (Yoshifumi Kimura)

東大・理 橋本英典 (Hidenori Hasimoto)

### §1 はじめに

渦とは渦度の集中した領域を表わし、渦糸とはその集中の度合が $\propto$ 関数的なものであるとする。

2次元の縮まない完全流体中のNコの渦糸の運動方程式は無限の領域においては次式<sup>り</sup>で与えられる。

$$\frac{d\bar{z}_j}{dt} = \frac{1}{2\pi i} \sum_{m=1}^N' \frac{\Gamma_m}{\bar{z}_j - \bar{z}_m} \quad (1,1)$$

ここで $\bar{z}_j (= x_j + iy_j)$  は $j$ 番目の渦糸の複素平面における位置であり、 $\Gamma_j$  はその渦糸の強さを表わす。変数の上の $'$  は複素共役をとることを、また $\Sigma$ の肩の $'$  は singular な項 $j=m$  を除くことを意味している。

方程式(1,1)は直交座標系 $(x, y)$ を用いて表わした方が扱いやすいときもあるので以下にその形を掲げておく。

$$\left\{ \begin{array}{l} \frac{dx_j}{dt} = \frac{-1}{2\pi} \sum_{m=1}^N' \frac{\Gamma_m (y_j - y_m)}{r_{jm}^2} \\ \frac{dy_j}{dt} = \frac{1}{2\pi} \sum_{m=1}^N' \frac{\Gamma_m (x_j - x_m)}{r_{jm}^2} \end{array} \right. \quad (1,2)$$

$$r_{jm}^2 = (x_j - x_m)^2 + (y_j - y_m)^2$$

方程式(1,1)（および(1,2),(1,3)）は流体力学における渦運動のみならず、統計力学におけるスピニン流体の渦解を記述するといふことも知られている<sup>2)</sup>。

方程式(1,2)(1,3)は、以下のように書き変えることによりハミルトン系として見なせるといふことに注目しよう。

$$\left\{ \begin{array}{l} \Gamma_j \dot{x}_j = \frac{\partial H}{\partial y_j} \\ \Gamma_j \dot{y}_j = - \frac{\partial H}{\partial x_j} \end{array} \right. \quad (1,4)$$

$$\left\{ \begin{array}{l} \Gamma_j \dot{x}_j = \frac{\partial H}{\partial y_j} \\ \Gamma_j \dot{y}_j = - \frac{\partial H}{\partial x_j} \end{array} \right. \quad (1,5)$$

$$H = -\frac{1}{4\pi} \sum_i \sum_{j \neq i} \Gamma_i \Gamma_j \log r_{ij} \quad (1,6)$$

## §2 運動方程式の可積分性

### 2-1 境界および外部流の存在

方程式(1.1)～(1.6)はいずれも渦糸が無限のかつ流れの無い領域に置かれた場合のものである。もし、境界や流れが存在する時には境界条件や流れの影響を考慮するために(1.1)に附加

的な項を組み込むことが必要である。

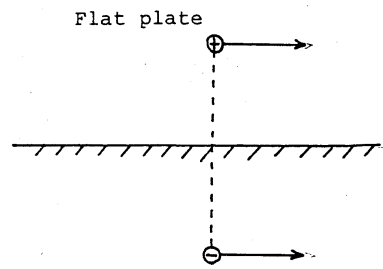
## ○境界の場合

### 例1 無限平板境界

無限平板境界が存在する場合、渦系は境界に関して対称な位置に大きさが等しく向きが逆の仮想的な渦系を誘起する。

この仮想的な渦系は後で述べる円の場合にも同様だが、鏡像とよばれ電磁気学における電荷に対するものと同じ概念である。よって運動方程式には鏡像からの寄与も含まねばならぬ。

v.

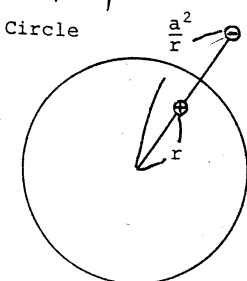


$$\frac{d\bar{z}_j}{dt} = \frac{1}{2\pi i} \sum_{m=1}^N \frac{\Gamma_m}{\bar{z}_j - \bar{z}_m} + \frac{1}{2\pi i} \sum_{m=1}^N \frac{-\Gamma_m}{\bar{z}_j - \bar{z}_m} \quad (2,1)$$

右辺第2項が鏡像による項であるが、今度の場合は和に自分自身の鏡像による項も含まれていることに注意して頂きたく。

### 例2 円境界

境界が円の場合には鏡像の位置が平板の場合と違うのみである。位置と強さ $\Gamma$ の渦系を $(z, \Gamma)$ と表わすと $(z, \Gamma)$ の鏡像は $(\frac{a^2}{z}, -\Gamma)$ で与えられる。ここで $a$ は円の半径である。よって運



動方程式は、

$$\frac{d\bar{z}_j}{dt} = \frac{1}{2\pi i} \sum_{m=1}^N' \frac{\Gamma_m}{\bar{z}_j - \bar{z}_m} + \frac{1}{2\pi i} \sum_{m=1}^N \frac{-\Gamma_m}{\bar{z}_j - (\frac{\alpha^2}{\bar{z}_m})} \quad (2.2)$$

上記2例は、境界として最も基本的なものであり、より一般的な形状の境界については等角写像を使って平板あるいは円に変換することにより、考えることが可能である。

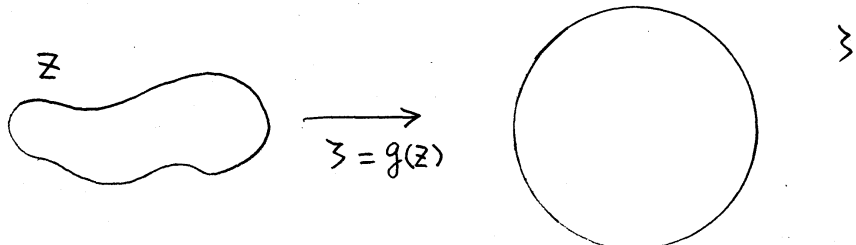
### ○ 単連結領域<sup>3-4)</sup>

運動方程式は次のハミルトニアンより与えられる。

$$H = -\frac{1}{4\pi} \sum_{j=1}^N \Gamma_j^2 \log \frac{|g'(z_j)|}{1-g_j \bar{g}_j} - \frac{1}{4\pi} \sum_j \sum_{k \neq j} \Gamma_j \Gamma_k \log \frac{|g_j - g_k|}{1-g_j \bar{g}_k}$$

$$\Gamma_j \dot{\bar{z}}_j = 2i \frac{\partial H}{\partial z_j}$$

ここで  $\zeta = g(z)$  は与えられた境界を  $\zeta$  平面上の円に写す解析写像であり  $g_j = g(z_j)$  である。

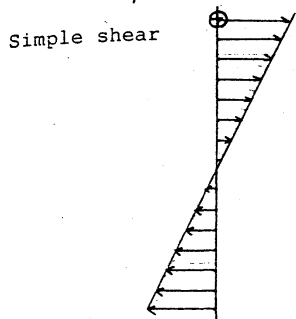


### ○ 流れの場合

例1: simple shear

今渦糸の他に図に示すような shear が存在していたとしよう。渦糸は  $y$  方向には新たな速度を感じないが、 $x$  方向に

は外部の流れの速度をうける。よって運動方程式は。



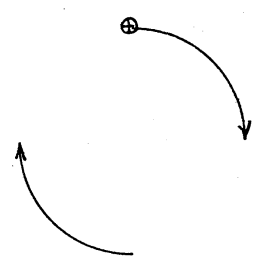
$$\frac{dZ_j}{dt} = \frac{1}{2\pi i} \sum_{m=1}^N \frac{\Gamma_m}{\bar{z}_j - \bar{z}_m} + \alpha I_m Z_j \quad (2.4)$$

と表わせる。ここで  $I_m Z_j = y_j$  で、 $\alpha$  は shear rate である（後述）

### 例2: circular rotation

渦糸が図の様な回転流中に置かれている場合には、渦糸は渦糸どうしの相互作用に剛体回転を足し合わせたものを速度として感じる。よって運動方程式は。

$$\frac{dZ_j}{dt} = \frac{1}{2\pi i} \sum_{m=1}^N' \frac{\Gamma_m}{\bar{z}_j - \bar{z}_m} + i\beta \bar{z}_j \quad (2.5)$$



となるであろう。ここで、 $i$  は複素単位、 $\beta$  は回転速度である。

上記の2つの例はハミルトニアンに流れの関数を取り込むことにより、以下のようにより統一的に述べることができる。流れの関数  $\psi(x, y)$  であらわされる縮まない流れの中にかけられた渦糸群の2次元運動方程式は

$$\Gamma_i \dot{x}_i = \frac{\partial}{\partial y_j} H_v + \Gamma_j \frac{\partial}{\partial y_j} \psi_i \quad (2.6)$$

$$\Gamma_j \dot{y}_j = -\frac{\partial}{\partial x_i} H_v - \Gamma_i \frac{\partial}{\partial x_i} \psi_j \quad (2.7)$$

で与えられる。ここで  $\psi_i = \psi(x_i, y_i)$ 、また

$$H_v = -\frac{1}{4\pi} \sum_{i \neq j} \sum_{i,j} \Gamma_i \Gamma_j \log r_{ij}^2 \quad (2.8)$$

$$r_{ij}^2 = (x_i - x_j)^2 + (y_i - y_j)^2$$

である。いま

$$H_\psi = \sum_{j=1}^N \Gamma_j \psi_j \quad (2.9)$$

と置くと、上の正準方程式は

$$\Gamma_i \dot{x}_i = \frac{\partial H}{\partial y_i} \quad (2.10)$$

$$\Gamma_j \dot{y}_j = -\frac{\partial H}{\partial x_j} \quad (2.11)$$

ただし

$$H = H_v + H_\psi$$

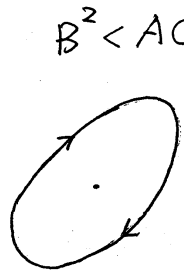
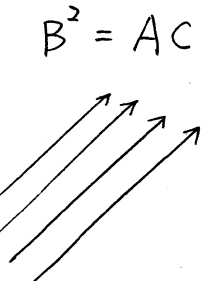
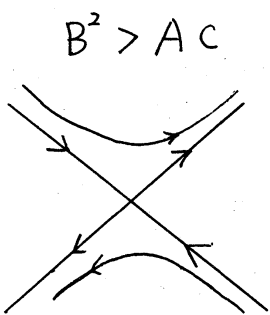
と書くことができ、再びハミルトン系として表わされることがわかる。

さて  $\psi(x, y)$  として次の形を仮定する。

$$\psi(x, y) = \frac{1}{2} (Ax^2 + 2Bxy + Cy^2) \quad (2.12)$$

これは一様な流れと pure shear が共存する流れで、 $B^2 > AC$ ,  $B^2 = AC$ ,

$B^2 < AC$  に応じて  
流線はそれぞれ双曲線、平行直  
線、橢円になっていることがわかる。(後述)



### 2-2 運動の保存量<sup>1)</sup>

流れのない無限領域における渦糸の運動方程式(1)は、次の4つの量が保存量として存在することが知られている。  
(重心は2つと考える。)

#### ① エネルギー

$$E = -\frac{1}{4\pi} \sum_{(i \neq j)}^N \sum_{i,j}^N \Gamma_i \Gamma_j \log r_{ij} \quad (2.13)$$

$$r_{ij} = |z_i - z_j|$$

これはハミルトン系ではハミルトニアンに対応するもので  
あり、当然保存量となるべきものである。

#### ② 慣性モーメント(2次モーメント)

$$I = \sum_{i=1}^N \Gamma_i |z_i|^2 \quad (2.14)$$

これは系(あるいはハミルトニアン)の回転対称性に起因

するものである。

### ③ 重心

$$G = \sum_{i=1}^N p_i z_i / \sum_{i=1}^N p_i \quad (2.15)$$

系の並進対称性により重心に対応する上記の量が保存する。これはまた、実数で表わすと次のようになる。

$$\begin{aligned} G_x &= \sum_{i=1}^N p_i x_i / \sum_{i=1}^N p_i \\ G_y &= \sum_{i=1}^N p_i y_i / \sum_{i=1}^N p_i \end{aligned} \quad (2.16)$$

以上4つの保存量は系が充分に対称な場合であるが、境界や流れによって対称性が失われるとそれに従い保存量の数も減っていく。

表1はいくつかの条件についての可積分性を表わしたものである。例えば、無限領域内の3つの渦系の場合、方程式の数は  $3 \times 2 = 6$  であり、保存量は先の4つがあり、 $6 - 4 = 2$  が実質的な未知数の個数といえる。未知数の数が2以下のautonomousな系は可積分である。これは簡単には次のようない理由であると考えられる。2つの未知数を  $x, y$  とすると、それらは次の方程式をみたすであろう。

$$\frac{dx}{dt} = f(x, y) \quad \frac{dy}{dt} = g(x, y) \quad (2.17)$$

表 1

Integrability of the equations of motion for several cases.

	conditions	numbers of equations	conservatives	integrabilit,
1	Two vortices ( without boundaries and external flow )	4	E, I, $G_x, G_y$	○
2	Three vortices ( without boundaries and external flow )	6	E, I, $G_x, G_y$	○
3	Two vortices ( in a circle )	4	E, I	○
4	Three vortices ( in a circle )	6	E, I	✗ (Δ)
5	Two vortices ( in a domain without rotational symmetry ) ex. Two vortices in a semi circle.	4	E	✗ (Δ)
6	Two vortices ( in a steady flow with translational symmetry in a certain direction )	4	E, $G_x$ , (or $G_y$ )	○

可積分性のところで  $\times(\Delta)$  というのは一般には可積分でない  
が、対称性の良い場合は解が得られることを意味している。

上式の辺々を割り算すると

$$\frac{dx}{dy} = \frac{f(x,y)}{g(x,y)} \quad (2.18)$$

また、エネルギーの式より

$$y = h(x) \quad (2.19)$$

が得られたとすると

$$y = \int^x \frac{g(x, h(x))}{f(x, h(x))} dx \quad (2.20)$$

と形式的に解が積分形で表現可能になるのである。表のうち  
円の中の 2 つの渦糸や半円の中の 2 つの渦糸については先の  
報文で紹介したので、次の節では無限領域における 3 つの渦  
糸の運動の特異的な場合と、定常な流れの中における渦糸の  
運動を紹介することにする。

### § 3 無限領域における 3 つの渦糸の相似解

表にあるように無限領域内の 3 つの渦糸の系は可積分系  
であるが<sup>7)</sup> いくつかの興味ある運動が相似解として得られる。<sup>8)</sup>  
相似解を得るためにまず

$$z_j = \varphi_j f(t)$$

と置いて、これを方程式 (1.1) に代入し、空間成分と時間成

分を分離する。ここで  $\mathbf{f}_j$  が空間成分、 $f(t)$  が時間成分を表わす。 $f(t)$  に添字  $j$  が無いのは系全体が一様に運動することを表わしている。得られた  $\mathbf{f}_j$ 、 $f(t)$  についての 2 つの方程式は以下の通りである。

$$\left\{ \begin{array}{l} \dot{\mathbf{f}} \bar{\mathbf{f}} = A + iB = C \quad (\text{const}) \\ \mathbf{C} \bar{k}_m = -\frac{1}{2\pi i} \sum_{j=1}^N' \frac{\mathbf{f}_j}{\bar{k}_{m_j} - \bar{k}_j} \end{array} \right. \quad (3.1)$$

$$\left\{ \begin{array}{l} \mathbf{C} \bar{k}_m = -\frac{1}{2\pi i} \sum_{j=1}^N' \frac{\mathbf{f}_j}{\bar{k}_{m_j} - \bar{k}_j} \end{array} \right. \quad (3.2)$$

まず最初に時間成分について考えよう。 $\mathbf{f}$  は一般に複素数なので、 $\mathbf{f} = r e^{i\phi}$  と置いて方程式に代入すると、

$$\dot{\mathbf{f}} \bar{\mathbf{f}} = r \dot{r} + i r^2 \dot{\phi} = A + iB \quad (3.3)$$

となり、 $r$  と  $\phi$  について 2 つの方程式が得られる。

$$\left\{ \begin{array}{l} r \dot{r} = A \\ r^2 \dot{\phi} = B \end{array} \right. \quad (3.4)$$

$$\left\{ \begin{array}{l} r^2 \dot{\phi} = B \\ r \dot{r} = A \end{array} \right. \quad (3.5)$$

これらはすぐ積分できて

$$r = \sqrt{2At + \alpha} \quad (3.6)$$

$$\phi = \frac{B}{2A} \log(2At + \alpha) + \beta \quad (3.7)$$

が得られる。よって  $f$  は

$$f = \sqrt{2At + \alpha} \exp \left[ i \left\{ \frac{B}{2A} \log(2At + \alpha) + \beta \right\} \right] \quad (3.8)$$

となる。A の正、負、0 に応じて  $f$  は

$A > 0$  ..... 時間とともに増大

$A = 0$  ..... 剛体回転

$A < 0$  ..... 時間とともに減少

を表わしている。次に空間部分であるが、今は例として  $N = 3$ 、すなわち、3 体問題を考えることとする。解くべき方程式を陽に書くと次のようになる。

$$C_{\bar{k}_1} = -\frac{1}{2\pi i} \left( \frac{\Gamma_2}{\bar{k}_1 - \bar{k}_2} + \frac{\Gamma_3}{\bar{k}_1 - \bar{k}_3} \right) \quad (3.9)$$

$$C_{\bar{k}_2} = -\frac{1}{2\pi i} \left( \frac{\Gamma_1}{\bar{k}_2 - \bar{k}_1} + \frac{\Gamma_3}{\bar{k}_2 - \bar{k}_3} \right) \quad (3.10)$$

$$C_{\bar{k}_3} = -\frac{1}{2\pi i} \left( \frac{\Gamma_1}{\bar{k}_3 - \bar{k}_1} + \frac{\Gamma_2}{\bar{k}_3 - \bar{k}_2} \right) \quad (3.11)$$

+ 複素共役

上の方程式を以下の手続きにより解析する。

① 複素共役  $\bar{k}_1, \bar{k}_2, \bar{k}_3$  を消去する。

②  $k_1 - k_2 = x, k_2 - k_3 = y$  と置いて  $x, y$  の方程式

を表わす。

③ 分母をはり、二多項式をつくり、それを因数分解する。  
その結果として次の式が得られる。

$$(\Gamma_1\Gamma_2 + \Gamma_2\Gamma_3 + \Gamma_3\Gamma_1)(X^2 + X + 1)$$

$$X = \frac{y}{x} \quad \times \left\{ (\Gamma_1 + \Gamma_2)X^3 + (2\Gamma_1 + \Gamma_2)X^2 - (\Gamma_2 + 2\Gamma_3)X - (\Gamma_2 + \Gamma_3) \right\} = 0 \quad (3.12)$$

$$X = \frac{y}{x}$$

上式の各項はそれぞれ次のようない意味を持っている。

$$\underline{\Gamma_1\Gamma_2 + \Gamma_2\Gamma_3 + \Gamma_3\Gamma_1 = 0}$$

相似解の条件を求めるためにエネルギーの式 (2.13) に

$\chi_j = k_j f(t)$  を代入すると

$$E = -\frac{1}{8\pi} \sum_{(i \neq j)} \Gamma_i \Gamma_j \left\{ \log |k_i - k_j| + \log |f| \right\} \quad (3.13)$$

が得られる。  $f$  が時間的に変化する、すなわち  $A \neq 0$  であるならば、エネルギー保存のために

$$\sum_{(i \neq j)} \Gamma_i \Gamma_j = 0$$

でないといけない。また逆に  $\sum_{(i \neq j)} \Gamma_i \Gamma_j = 0$  であるならば、系が expand したり contract したりする場合がありうることになる。

$$\underline{X^2 + X + 1 = 0}$$

これは常に  $X = \omega, \omega^2$  を解にもつ。 $(\omega$  は 1 の立方根)  $\omega, \omega^2$  はどちらも正三角形解に対応していることわかる。すなわ

ち、3つの渦糸の強さは何であつても正三角形に配置された渦糸は常に形をかえず(=回転する)のである。

$$\underline{(P_1+P_2)x^3 + (2P_1+P_2)x^2 - (P_2+2P_3)x - (P_2+P_3) = 0}$$

この方程式は3次方程式なので一般にカルダノの方法等を使つて解析的に解くことが可能である。解の詳細についてはまだ調べられていないが、実数解は一直線解(すなはち、一直線上に並べられた渦糸の間隔をかえないで回転するような解)を与えることがわかつてゐる。

以上の結果は、天体力学におけるラグランジエによつて得られた特解と類似性があるといえる。(図1.2.3)

#### §4 流れがある場合の渦糸の運動

前述のように流れの関数  $\psi(x,y)$  の次のような形の場合を考えよう。

$$\psi(x,y) = \frac{1}{2}(Ax^2 + 2Bxy + Cy^2) \quad (4.1)$$

ここで

$$\sum P_i x_i = X, \quad \sum P_i y_i = Y \quad (4.2)$$

と置く。運動方程式の両辺の和をとることにより  $X, Y$  についての方程式をつくると

$$\psi = 0 : \quad \dot{X} = 0 \quad \dot{Y} = 0 \quad (4.3)$$

でこれは重心の保存を表わしてゐる。

a regular triangle shape.

$$(P_1 P_2 P_3) = (2, 2, -1)$$

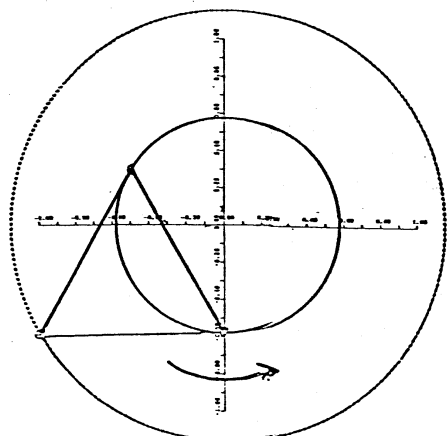


図1 正三角形解

初期の正三角形を保つ  
まま3, が回転する

$$\text{expansion } (P_1 P_2 P_3) = (2, 2, -1)$$

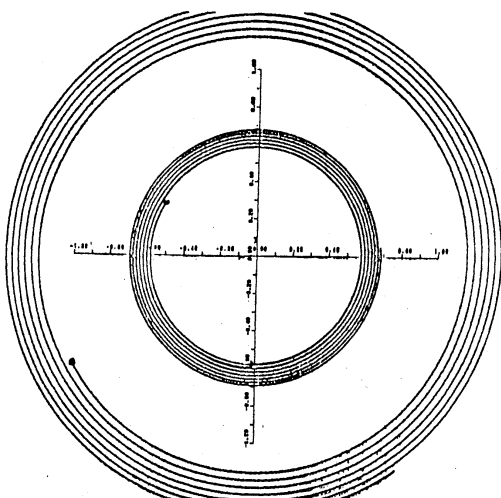


図2 expansion 解

図2の3つの渦系の  
うち1つをわずかに  
動かす。

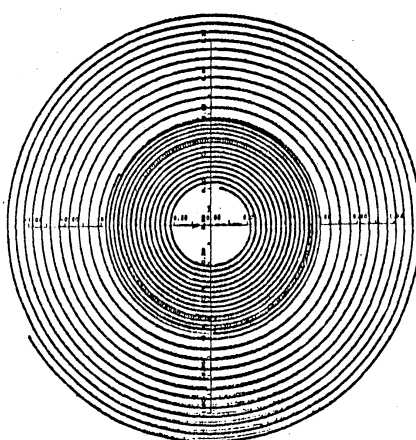


図3 contraction解

図2の渦糸と逆の方  
向にわずかに動かす。

$$\psi \neq 0 : X = BX + CY = \frac{\partial}{\partial Y} H(X, Y) \quad (4.4)$$

$$\dot{Y} = -(AX + BY) = -\frac{\partial}{\partial X} H(X, Y) \quad (4.5)$$

$$H = \frac{1}{2} (AX^2 + 2BXY + CY^2) \quad (4.6)$$

これは渦糸の重心が  $H = \text{const}$  の曲線上を運動することを意味しており、前と同様に  $A, B, C$  の関係により軌道は双曲線、平行直線、橢円群となることわかる。

以下最も簡単な例として2つの渦糸を例にとって話を進める。エネルギーは

$$H = -\frac{\Gamma_1 \Gamma_2}{2\pi} \log r + \frac{1}{2} \sum_{i=1,2} (AX_i^2 + 2BX_iY_i + CY_i^2)$$

$$r^2 = (x_1 - x_2)^2 + (y_1 - y_2)^2 \quad (4.7)$$

であり

$$\Gamma_1 x_1 + \Gamma_2 x_2 = \Gamma X \quad x_2 - x_1 = 2\beta \quad (4.8)$$

$$\Gamma_1 y_1 + \Gamma_2 y_2 = \Gamma Y \quad y_2 - y_1 = 2\gamma \quad (4.9)$$

とおくと  $H$  は

$$H = H_0 + \tilde{H} \quad (4.10)$$

$$H_0 = \frac{\Gamma}{2} (AX^2 + 2BXY + CY^2)$$

$$\tilde{H} = -\frac{\Gamma_1 \Gamma_2}{4\pi} \log [4(\xi^2 + \eta^2)] + \frac{2\Gamma_1 \Gamma_2}{\Gamma} [\Lambda \xi^2 + 2B \xi \eta + C \eta^2]$$

と書ける。 $(4.8), (4.9)$  は定数因数を除けば正準変換であって前述のように  $XY$  は  $H_0 =$  一定の軌道上を運動するのに對し相対座標  $\xi, \eta$  は  $\tilde{H} =$  一定の軌道上を運動することになる。

以上の結果を利用して simple shear の中の 2 つの同じ強さ、方向の渦系の運動を考察しよう。方程式は

$$\frac{dx_1}{dt} = -\frac{\kappa(y_1 - y_2)}{r^2} + \alpha y_1 \quad (4.11)$$

$$\frac{dy_1}{dt} = \frac{\kappa(x_1 - x_2)}{r^2} \quad (4.12)$$

$$\frac{dx_2}{dt} = -\frac{\kappa(y_2 - y_1)}{r^2} + \alpha y_2 \quad (4.13)$$

$$\frac{dy_2}{dt} = \frac{\kappa(x_2 - x_1)}{r^2} \quad (4.14)$$

$$\kappa = \frac{\Gamma}{2\pi} \quad \alpha: \text{shear rate}$$

$(4.13) - (4.11)$  より

$$2\dot{\xi} = -\frac{4\kappa\eta}{r^2} + 2\alpha\eta \rightarrow \dot{\xi} = \eta \left( \alpha - \frac{2\kappa}{r^2} \right) \quad (4.15)$$

(4.14) - (4.12) より

$$2\dot{h} = \frac{4K\dot{\zeta}}{r^2} \longrightarrow \dot{h} = \frac{2K\dot{\zeta}}{r^2} \quad (4.16)$$

(4.15) / (4.16)

$$\frac{d\dot{\zeta}}{dh} = \frac{h(\alpha r^2 - 2K)}{2K\dot{\zeta}} \longrightarrow 2K(\dot{\zeta}d\dot{\zeta} + h^2 dh) = \alpha r^2 h dh \quad (4.17)$$

ここで

$$r^2 = (x_2 - x_1)^2 + (y_2 - y_1)^2 = 4(\dot{\zeta}^2 + h^2) \equiv 4R^2$$

$$d(R^2) = 2R dR = 2(\dot{\zeta}d\dot{\zeta} + h^2 dh)$$

であるから (4.17) より

$$\begin{aligned} K d(R^2) &= 4R^2 \alpha \frac{1}{2} d(h^2) \\ \Leftrightarrow \frac{d(R^2)}{R^2} &= \frac{2\alpha}{K} d(h^2) \\ \Leftrightarrow \log R^2 &= \frac{2\alpha}{K} h^2 + C \\ \therefore R^2 &= R_0^2 e^{\frac{2\alpha}{K} h^2} \end{aligned}$$

よって

$$\dot{\zeta}^2 = \dot{\zeta}_0^2 e^{\frac{2\alpha}{K} h^2} - h^2 \quad (4.18)$$

となる。上式で  $2\alpha/K$  は、滑と shear の強さの比を表す  $\lambda$  メターダラメタである。この結果は一般式 (4.10) で  $P_1 = P_2 = P$

とおいたものと一致する。比が問題なのであるから  $K=1$  (*shear* と逆回転) と  $K=-1$  (*shear* と順回転) を考えれば充分である。

$$\zeta^2 = \zeta_0^2 e^{2\alpha h^2} - h^2 \quad (K=+1) \quad \text{逆回転}$$

$$\zeta^2 = \zeta_0^2 e^{-2\alpha h^2} - h^2 \quad (K=-1) \quad \text{順回転}$$

今、 $\zeta_0^2 = 1$  として  $\alpha$  の値をいくつかきめて  $\zeta$  に対し  $\zeta$  の値をプロットしたのが次のグラフである。<sup>図4</sup> 中心部の円は  $\alpha = 0$  (*shear* なしの場合) に対応している。円の内部は  $K=-1$  (順回転) であり、外部は  $K=1$  (逆回転) である。これによりわからることは、順回転の場合には *shear* の強さによらず、 $\zeta, \zeta'$  は周期的であるのに對し、逆回転の場合には  $\alpha$  のある値までは周期運動とはなれていってももう運動が可能であるが、 $\alpha$  ある値を超えると、もはや、周期的な運動は許されなくなり常に2つの渦糸は無限遠にはなれていってしまうのである。その  $\alpha$  のクリティカルな値は  $\zeta = f(h)$  の極値が  $x$  軸に接するという条件より  $\alpha = 1/2\zeta_0^2 e$  とえられる。<sup>図5</sup> これは *shear* の中の渦の発展に1つの直感的な予想を与えるものであると思う。すなわち *shear* と同じ方向の渦はこわれにくく、*shear* と逆方向の渦はこわれやすいのであるまい。

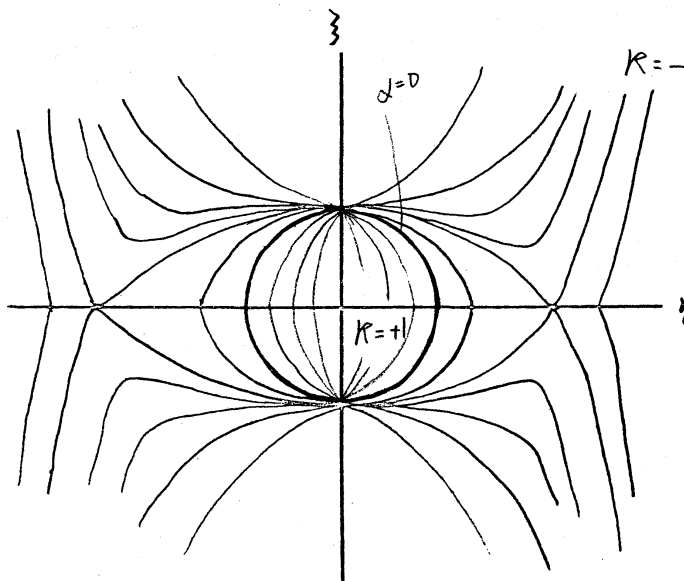
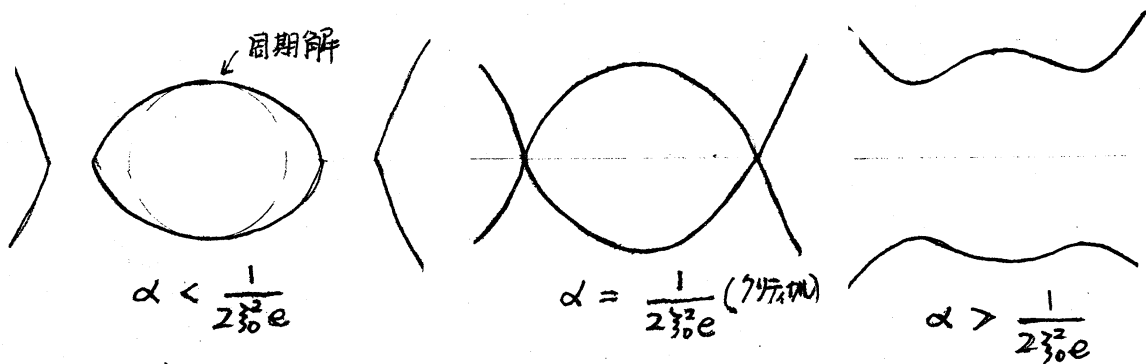


図 4

z-3グラフ  
中心部の円は shear  
なし. 円外は逆回  
転. 円内は順回転  
に対応している。

図 5:  $\alpha$  の変化によるグラフの形状変化

## 参考文献

- 1) I. Imai: 流体力学(前編) 豊華房 (1973), p.187
- 2) S. Takeno & S. Homma: Prog. Theor. Phys. Vol.69, No.3, 1983, 773-789
- 3) C.C.Lin: Proc. Nat. Acad. Sci. USA 27, (1941), 570-575
- 4) H.Hasimoto, K.Ishii, Y.Kimura & M. Sakiyama: Proc. IUTAM Symp. on Turbulence and Chaotic Phenomena in Fluids, Kyoto, 1983
- 5) Y. Kimura: 数理解析研究所講究録 510 「ナビエストークス方程式の解」 1984 p177-190
- 6) H. Hasimoto: 特定研究報告集「乱流現象の解明と制御」 1983年1月 p134-143
- 7) H. Aref: Ann. Rev. Fluid Mech 15 (1983) 345 - 389
- 8) H. Aref: Phys. Fluids 22(3) 1979 393-400